

一种面向性质的实时系统测试方法

李书浩¹, 王 戟¹, 齐治昌¹, 董 威^{1,2}

(1. 国防科技大学计算机学院, 湖南长沙 410073; 2. 武汉大学软件工程国家重点实验室, 湖北武汉 430072)

摘 要: 尽管 Statecharts 在反应式实时系统建模领域获得了广泛应用, 基于 Statecharts 开发的实时软件的测试仍然十分困难. 由于引入了时间维, 待测系统的行为空间变得非常庞大, 使得难以对其进行全面深入测试. 本文提出了一种面向性质的实时系统测试方法. 首先对 UML Statecharts 作适当实时扩展, 使得扩展后能描述 non-trivial 时间约束; 然后用一种受限实时逻辑描述待测系统的功能特性; 在此基础上根据待测性质从系统模型生成有针对性的测试序列. 实验表明, 在相同测试深度下, 面向性质测试比非面向性质测试需要少得多的测试序列.

关键词: 软件测试; 实时系统; UML Statecharts; 时序逻辑; 测试序列

中图分类号: TP311 **文献标识码:** A **文章编号:** 0372-2112 (2005) 05-0827-08

An Approach to Property-Oriented Testing of Real-Time Systems

LI Shu-hao¹, WANG Ji¹, QI Zhi-Chang¹, DONG Wei^{1,2}

(1. School of Computing, National University of Defense Technology, Changsha, Hunan 410073, China;

2. State Key Laboratory for Software Engineering, Wuhan University, Wuhan, Hubei 430072, China)

Abstract: Although Statecharts have gained widespread use as a formalism for modeling reactive real-time systems, testing these systems still confronts some difficulties, of which a major one is the existence of numerous system behaviors. It is extremely difficult to conduct comprehensive and in-depth testing of such real-time systems. This paper presents an approach to property-oriented real-time testing. Necessary real-time extensions are proposed such that the time-enriched Statecharts can describe non-trivial timing constraints. The properties to be tested are characterized by a restricted real-time logic. Then the targeted test sequences are derived from the real-time models according to the user-specified properties. Using this approach, testing efforts can be focused on particular properties of the real-time systems and usually only a small portion of the total behaviors needs to be tested.

Key words: software testing; real-time system; UML Statecharts; temporal logic; test sequence

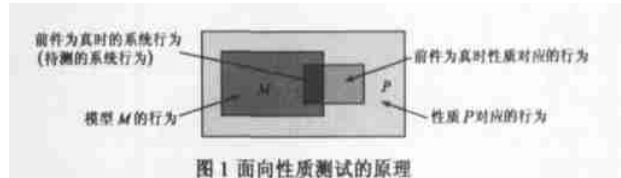
1 引言

由于 UML Statecharts^[1]描述问题直观、描述机制丰富, 因此它常常用于刻画对象在其生命周期中的实时行为. 随着越来越多的反应式实时系统基于 Statecharts 进行开发, 这些系统的测试变得越来越重要.

反应式实时系统测试面临的主要困难是行为空间极其庞大. 导致此困难的原因包括: (1) 系统本身控制结构复杂, (2) 系统中含有数据变量, (3) 时间维的引入. 三者中后者影响尤其显著. 对于这类系统, 即便是中等规模系统, 对其进行全面深入测试也十分困难. 然而我们注意到, 在许多场合人们仅对待测实时系统的某些特定性质感兴趣, 希望对其进行专门深入测试, 或者在资源有限情况下, 只能对系统的关键性质进行重点测试. 在这些场合, 对系统进行针对性测试就显得非常必要.

本文提出了一种面向性质的从实时扩展后的 UML State-

charts 生成测试序列的方法, 它适合对基于 UML 模型设计开发/生成的实时软件的测试. 令系统模型为 M , 待测性质为 P . 假设 M 满足 P . 面向性质测试的原理是: 只对模型 M 中使得性质 P 的前件为真的行为进行测试, 如图 1 所示. 一般来说, 使性质前件为真的模型行为 (待测行为) 远远少于不加限制的模型行为, 因此在相同资源条件下, 面向性质测试比非面向性质测试进行得更深入.



第 2 节对 UML 作了必要实时扩展, 使得扩展后 Statecharts 能自然地描述 non-trivial 时间约束. 然后用扩展有限状态机 (EFSM) 表示扩展后 Statecharts 的所有行为. 第 3 节定义了一种

收稿日期: 2004-04-12; 修回日期: 2004-12-08

基金项目: 国家自然科学基金 (No. 60233020, No. 90104007, No. 60303013); 国家 863 项目 (No. 2001AA113202, No. 2001AA113190); 武汉大学软件工程国家重点实验室开放基金 (No. SKLSE03-08); 国防科技大学计算机学院基金“基于构件的软件开发与测试”

用于描述反应式实时系统功能特性的受限实时逻辑. 第 4 节提出了面向该类性质的测试序列生成方法. 第 5 节对所给测试方法进行了案例分析. 第 6 节将本文方法与相关方法作了比较. 第 7 节给出了结论和下一步研究方向.

2 实时系统规约

2.1 Real-Time Statecharts 及其语义

经典 Statecharts 和 UML Statecharts 可以直接描述“迁移在指定时间之后发生”,但不能直接描述“迁移在指定时间之前发生”.为了便于描述时间区间上限,我们在 UML 元模型层次作实时扩展,使得扩展后 Statecharts 中,外部输入事件可以与时间区间联合构成带时间的激励,例如 $[lower, upper][e_1, e_2, \dots, e_n]$. 称扩展后的 Statecharts 为 Real-Time Statecharts.

为了简化问题,我们对扩展前 UML Statecharts 作适当限定:暂不考虑各种伪状态;假定事件不带参数;不考虑迁移优先级;不考虑复合迁移;不考虑与状态相关的动作和活动.此外,假设所有变量都是离散的,且都在有穷集合内取值.

定义 1 (Real-Time Statecharts, RTS) Real-Time Statecharts 是一个 7 元组 $Z = (S, C_0, V, R, T)$, 其中 S 是状态集, C_0 是 RTS 所处的一组初始状态, E 是事件集, V 是变量集, ν 是 V 上的一个解释,它为 V 中每个变量赋一个初始值, R 是由非负实数构成的时间域, T 是迁移集.

RTS 事件集 E 分成三个不相交子集 i, l 和 o , 分别表示(外部)输入事件、局部事件和(外部)输出事件. 输入事件由外部环境产生. 在 RTS 中,我们采用类似 UML Statecharts 的单事件处理机制,即任意时刻最多处理一个输入事件. 局部事件由 RTS 自身产生,用于内部通讯,外部不可见. 输出事件是 RTS 对激励作出的外部可观察响应.

迁移集 T 中每一个迁移 t 是一个 6 元组 $(source(t), time(t), events(t), guard(t), action(t), target(t))$, 其中 $source(t) \in S$; $time(t) = [l, u]$ 是一段时延,或者是输入事件发生的时间区间; $events(t)$ 要么是空集,要么是 i 的子集,要么是 l 的子集; $guard(t)$ 是 V 上的一个谓词; $action(t)$ 包括两部分:一部分是对 V 中变量的一组赋值 $assignments(t)$, 另一部分是 o 中的一组事件 $generated(t)$.

输入事件集合可以与时间区间相关联,构成带时间激励,但局部事件不能这样关联. 带时间激励的迁移标记的一般形式是 $[l, u][e_1, e_2, \dots, e_n][g]/a$, 其中 $e_i \in i, 1 \leq i \leq n$. 其直观含义是,从进入迁移源状态开始计时,如果在时间 l 之后、时间 u 之前有某个输入事件 $e_i (1 \leq i \leq n)$ 发生,并且 e_i 发生时刻条件 g 满足,那么迁移被激发. 上述迁移标记中,时间区间既可以是闭区间,也可以是半开区间或者开区间,如 $(l, u), [l, u), (l, u)$. 此外,若 $l = u$, 则 $[l, u]$ 可写为 $after(l)$; 若 $l = 0$ 且 $u = \infty$, 则 $[l, u]$ 可略去不写.

图 2 是用 RTS 描述一个简单自助咖啡机 (Coffee Vending Machine, CVM) 的例子. CVM 原理是:投币 (inc) 后方能要求咖啡 ($coffee$); 咖啡机“吃掉”硬币 (dec) 后,才开始煮咖啡;开始加热后,若过早接咖啡 ($[0, 2) accept$), 则尚未煮好,若太晚接咖啡 ($[6, \infty) accept$), 则咖啡已凉,若适时接咖啡 ($[2, 6] accept$),

则 1 个时间单位后 ($after(1)$), 杯子接满.

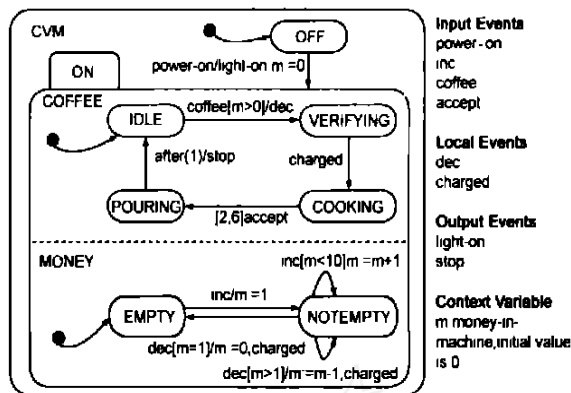


图 2 自助咖啡机的 RTS 规约

我们用异步时间模型^[2,3]定义 RTS 语义. RTS 的执行以 step 为语义单位. 一个 step 是被一个外部激励(即一个纯时间延迟 $[l, u]$, 或者一个纯输入事件 e_i , 或者一个延迟输入事件 $[l, u]e_i$) 或者一个局部激励(即一个局部事件 e_l) 所激发的最大无冲突使能迁移集. 最初,一个外部激励可能激发一组 RTS 迁移,这组迁移中的若干迁移(一个 step)被选择执行后,可能产生一些局部事件,而这些局部事件中的某一个又可能激发另一组迁移(从而进入另一 step)继续执行. 如此进行“链式反应”,直到系统内不再产生局部事件即系统达到稳定状态为止. 系统只有在到达稳定状态后才能接收下一个外部激励.

对于 RTS $Z = (S, C_0, V, R, T)$, 假设 $Config$ 是 Z 的所有格局的集合(我们用 RTS 所处的一组状态表示一个格局), ν 是 V 的所有解释的集合. 下面给出我们对 RTS 中 step 的定义.

定义 2 (step) 令 $C, C' \in Config, i \in i, o \in o, t \in T$ 是一组迁移; i 称为输入,它是一个单元素集合,其元素要么是一个外部激励,要么是一个内部激励; $o \subseteq o, o'$ 称为输出,它是一组局部事件和/或输出事件. 如果下列条件得到满足,则称 3 元组 (i, o) 是从 (C, ν) 到 (C', ν') 的一个 step, 记作 $(C, \nu) \xrightarrow{(i, o)} (C', \nu')$.

- ⊗ C 中每个迁移被 i 激发,具体地:
 - 若 i 中元素是一个纯时间延迟 $[l, u]$, 则 $\exists \nu' [l, u], \forall t \in T. ((\nu' \neq \nu \wedge time(t) = [l, u]) \rightarrow (events(t) = \emptyset))$;
 - 若 i 中元素是一个纯输入事件 e_i , 则 $\exists \nu' [0, \infty). \forall t \in T. ((\nu' \neq \nu \wedge time(t) = \emptyset) \rightarrow (e_i \in events(t)))$;
 - 若 i 中元素是一个延迟输入事件 $[l, u]e_i$, 则 $\exists \nu' [l, u]. \forall t \in T. ((\nu' \neq \nu \wedge time(t) = [l, u]) \rightarrow (e_i \in events(t)))$;
 - 若 i 中元素是一个局部事件 e_l , 则 $\forall t \in T. ((time(t) = null) \rightarrow (e_l \in events(t)))$;
- ⊗ C 中每个迁移在 (C, ν) 下被使能, 即 $\forall t \in T. ((source(t) \in C) \wedge (\nu \models guard(t)))$;
- ⊗ C 中迁移无冲突, 即 C 中各迁移离开状态集的交集为空;
- ⊗ C 是最大的, 即那些被 i 激发, 在 (C, ν) 下被使能的迁移如果不在 C 中, 那么它肯定与 C 中某个迁移冲突;

件,则 p 是外部激励.

定义 9(观察) 若 p, q 是场景,则 $p U_{[l, u]} q$ 是观察;
若 p 是外部激励, q 是场景或观察,则 $(p | q)$ 是观察;
若 p, q 是观察,则 $p, p \wedge q, p U^{[l, u]} q$ 是观察.

定义 10(受限 LTL 公式) 受限 LTL 公式递归定义如下:

$f := [\text{场景}] \text{外部激励}] \text{观察} | f_1 f_2 | f_1 U_{[l, u]} f_2$.

在命题连接词 \wedge 和 \vee 基础上,可定义 \exists ;在受限时态算子 $U_{[l, u]}$ 基础上,可以定义 $F_{[l, u]}$ 和 $G_{[l, u]}$,即“Future”和“Globally”.引入这些额外命题连接词和受限时态算子后,将能很方便地描述许多实时性质.例如, $F(\text{@EMPTY} \text{@COOKING})$, $([3, 4] \text{accept} | F_{[1, 2]}(\text{@IDLE}))$, $G(\text{@NOTEMPTY} (m = 1) | (\text{coffee} | ([3, 4] \text{accept} | F_{[1, 1]}(\text{@IDLE}))))$ 都是受限 LTL 公式.

4 面向性质的实时测试生成

进行测试之前,我们假设系统模型 M 满足待测性质 P .此假设是必要的,因为如果 M 不满足 P ,那么要么模型 M 中存在设计错误,要么 P 并不是我们真正希望测试的性质.此假设也是可行的,因为目前已存在诸如 UPPAAL^[6]等实时模型检验工具,我们可以利用它们来检查 M 是否满足 P .

将 RTS 转换成 EFSM 并修剪后,面向性质的测试生成按如下步骤进行:

- Step1 根据待测受限 LTL 性质,构造 EFSM 路径表达式;
- Step2 由路径表达式得到有穷条、有穷长实时测试序列;
- Step3 判断生成的测试序列的可行性.

4.1 路径表达式构造

为了测试 EFSM 是否满足指定的受限 LTL 性质,必须列出使性质场景部分(如果存在的话)为真的所有路径.我们用正规表达式(或其集合)表示这些路径.

先考察状态命题 $@_i$,其中 s_i 是 RTS 状态.为命题 $@_i$ 构造路径表达式,实质上就是寻找从 EFSM 初始状态到所有与包含 s_i 的 RTS 格局相对应的 EFSM 稳定状态的所有路径.如果将 EFSM 视为一个 FSM,将求得 EFSM 稳态视为 FSM 的接收状态,那么上述问题转化为寻找该 FSM 所接收的语言的问题.给定一个 FSM,寻找与该 FSM 所接收语言相对应的正规表达式的算法是已知的^[7].求得的正规表达式长度之和最大为 $3^{|K|}$,其中 K 是 FSM 状态集.图 6 是状态命题路径表达式构造算法.虽然该算法呈指数复杂性,但可以在很大程度上予以改进.如果一条 EFSM 路径中,任何状态最多出现一次,则称该路径为基本路径.针对图 6 算法的一种优化方法是:将 EFSM 中所有非稳态和基本路径中间的稳态隐藏起来,将被隐藏状态和相关迁移合并成子路径.精简后的 EFSM 含有较少状态,因此该算法所能处理的问题规模将明显提高.

对形如 $v_i \text{ rop } c_i$ 的关系命题,先寻找 EFSM 中那些其变量取值集合能够满足 $v_i \text{ rop } c_i$ 的稳态,然后用图 6 算法求出其路径表达式.如果路径表达式中某个迁移执行一次后会修改变量 v_i 值,那么称该迁移为变量 v_i 的影响迁移.目前我们只考

虑赋值语句部分包含常数赋值(如 $v := 3$)和简单算术运算(如 $v := v + 5$)的影响迁移.假设 v_i 的路径表达式中有 m 个影响迁移,其影响值分别为 k_1, k_2, \dots, k_m ,那么构造线性方程或者不等式 $(k_1 \cdot n_1 + k_2 \cdot n_2 + \dots + k_m \cdot n_m) \text{ rop } c_i$,寻找其整数解 (n_1, n_2, \dots, n_m) 的集合,按照这些整数解构造关系命题的路径,使得各影响迁移分别出现 n_1, n_2, \dots, n_m 次.

输入: 修剪后的 EFSM(其状态集为 Q);RTS 状态命题 $@_i$.

输出: 满足所给状态命题的 EFSM 路径表达式的集合 PathExp.

算法:

1. PathExp := \emptyset ; /* initialization */
2. ForEach $q_i \in Q$ DO /* q_i is a tuple of (Config, (local) Event) */
3. IF ($s_i \in q_i$, Config) (q_i , Event = \emptyset) THEN
4. 将 q_i 标记为“接收状态”; /* view EFSM as an FSM */
5. ENDIF
6. ENDFOR
7. 求出所有与该 FSM 相对应的正规表达式,将其放入 PathExp 中.

图 6 状态命题的路径表达式构造算法

第 3 节中,关系命题被定义为变量与常量相比较的形式.实际上,它也可以是多个变量(和/或常量)之间的比较,例如 $v_1 > v_2 + 3$.为它们构造路径表达式的方法与上述方法类似.

对于输出事件命题,我们先找出产生该输出事件的迁移(可能多个),然后找出从迁移目标状态向后数的第一个稳态,接着生成从 EFSM 初态到这些稳态的路径表达式.

以上是原子命题的路径表达式构造算法.对于用户按照定义 10 构造出的一般形式的受限 LTL 公式,我们先对(进行扫描,按照受限 LTL 公式构成规则识别出公式的场景、外部激励、观察部分.识别完毕之后,对(进行处理,如图 7 所示.

- Ⓐ 若 $@_i$ 是原子命题,则按照上述方法生成 $@_i$ 的路径表达式;
- Ⓑ 若 $@_i$ 形如 $(@_1 | @_2)$, 则
 - 若 $@_1$ 是外部激励,则
 - 若 $@_1$ 是公式的第一个原子命题(即尚未生成任何路径表达式),则生成 EFSM 初态至所有稳态的路径表达式,将 $@_1$ 添加到表达式末尾,继续分析 $@_2$;
 - 否则
 - 将 $@_1$ 添加到已生成的路径表达式末尾,继续分析 $@_2$;
 - 否则 /* $@_1$ 一定是场景, $@_2$ 一定是带外部激励的观察 */
 寻找满足 $@_1$ 的路径,继续分析 $@_2$;
- Ⓒ 若 $@_i$ 形如 $@_1$, 则寻找不满足 $@_1$ 的路径;
- Ⓓ 若 $@_i$ 形如 $@_1 \wedge @_2$, 则寻找满足 $@_1$ 且满足 $@_2$ 的路径;
- Ⓔ 若 $@_i$ 形如 $@_1 U_{[l, u]} @_2$, 则寻找从进入当前稳态时刻算起, l 在时间 l 之后、时间 u 之前有某个时刻的稳态能满足 $@_2$, 且从当前时刻(含)到该时刻(不含)之间的任一时刻都满足 $@_1$ 的路径.

图 7 性质指导的测试生成方法

如果性质的场景部分无法满足,那么该性质就是平凡性质,例如 $G(\text{@NOTEMPTY} (m = 13) (\text{coffee} (\text{@COOKING}))$.平凡性质显然能被满足.但是面向平凡性质生成测试序列是没有意义的.因此在进行面向性质测试之前,我们先用模型检验工具对性质前件进行验证.如果不成立,则报告该性

质是平凡性质.

4.2 测试序列选择

反应式实时系统测试选择面临的两个主要问题是:(1)如何根据路径表达式选择有穷多个有穷长的测试序列?(2)如何为测试序列中的时间区间选取代表性的时间点?

为了生成带时间的测试序列,我们提出了两阶段的测试选择方法.在第一阶段,将 EFSM 路径中的纯时间延迟和延迟输入事件视为普通输入事件,采用一定的覆盖准则,所得到的测试集里每个测试序列中的时间延迟都以区间形式存在,称该测试集为抽象测试集.在第二阶段,对抽象测试集里每个测试序列运用时间覆盖准则,为时间区间选择代表性的时间点,所得到的测试集称为实时测试集.

在测试选择的第一阶段,传统的覆盖准则(例如状态覆盖/迁移覆盖/迁移对覆盖/定义-使用覆盖等)不再合适,因为它们都是用来度量待实时系统全部行为的测试充分性的,而不是度量用户感兴趣的系统行为的测试深入程度的.本节提出一组度量面向性质测试深入程度的覆盖准则.

路径表达式之所以对应无穷条无穷长的测试序列,其原因是路径中存在回路.由于回路可能嵌套,所以我们只考虑不出现重复状态的回路,即基本回路.基本回路对变量有 3 类效应:(1)使变量值增大,如图 5 中状态 $(\{IDLE, NOTEMPTY\}, \emptyset)$ 的 $inc[m < 10]$ 自圈;(2)使变量值减小,如图 5 中状态 $(\{IDLE, NOTEMPTY\}, \emptyset)$ 的回路 $\{coffee[m > 0]\}, \{dec[m > 1]\}, \{charged\}, \{[2,6]accept\}, \{after(1)\}$; (3)为变量赋值,如图 5 中状态 $(\{IDLE, NOTEMPTY\}, \emptyset)$ 的回路 $\{coffee[m > 0]\}, \{dec[m = 1]\}, \{charged\}, \{[2,6]accept\}, \{after(1)\}, \{inc\}$.如果基本回路的执行会改变某个变量的值,则称之为基本影响回路.沿回路执行次数越多,表明测试越深入.

定义 11(基本路径覆盖) 如果路径表达式中每个基本路径都在某个测试序列中出现,那么称该测试集满足基本路径覆盖.

定义 12(k -度基本影响回路覆盖) 如果路径表达式中每个基本影响回路都在某个测试序列中分别出现 i 次 ($i = 0, 1, 2, \dots, k$),那么称该测试集满足 k -度基本影响回路覆盖.

定义 13(k -度基本回路覆盖) 如果路径表达式中每个基本回路都在某个测试序列中分别出现 i 次 ($i = 0, 1, 2, \dots, k$),那么称该测试集满足 k -度基本回路覆盖.

定义 12 的准则包含定义 11 的准则,而定义 13 的准则包含定义 12 的准则.定义 12 考察基本影响回路.定义 13 进一步考虑一般的基本回路.用户可以根据资源状况和测试深度要求来选择适当的 k 值.

在测试选择的第二阶段,我们定义以下时间覆盖准则:

定义 14(网格覆盖) 假设选定的网格粒度为 δ .如果对于抽象测试集里每一个包含 $[l, u]$ 的测试序列,实时测试集里都有若干个分别包含 $after(l), after(l + \delta), after(l + 2\delta), \dots, after(l + k\delta)$ 的测试序列与之对应,其中 $l + k\delta - u < l + (k + 1)\delta$,则称实时测试集满足粒度为 δ 的网格覆盖.

定义 15(时间边界覆盖) 如果对于抽象测试集里每一个包含 $[l, u]$ 的测试序列,实时测试集里都有分别包含 $after$

(1), $after(u)$ 的测试序列与之对应,则称实时测试集满足时间边界覆盖.

4.3 测试序列可行性分析

如果一个测试序列在 EFSM 上执行时,某个迁移 guard 未能满足,则称该测试序列不可行.经过测试选择所得到的测试集里可能存在不可行测试序列.例如,图 5 中测试序列 $\{power-on\}, \{inc\}, \{coffee[m > 0]\}, \{dec[m > 1]\}$ 是不可行的,因为执行迁移 $\{dec[m > 1]\}$ 之前 m 值为 1,迁移 guard 不满足.

基于模型生成的测试序列需精化后方能用于 SUT.此精化过程需要一定代价.既然上述序列对于 EFSM 模型不可行,那么它们对于 SUT 也无意义,因此不必浪费时间和精力来精化这些测试序列.

为了去掉测试集里的不可行测试序列,我们进行测试序列可行性分析.判断某个测试序列对于 EFSM 是否可行,只需将该测试序列应用于 EFSM,随着 EFSM 的执行来判断.

测试序列集里可能有某些测试序列是另一些测试序列的前缀.如果某个测试序列不可行,那么所有以该序列为前缀的测试序列都不可行.

5 举例

已知自助咖啡机 RTS 规约如图 2 所示,要求针对 FLTL 性质 $G(\@NOTEMPTY(m=1)(coffee([3,5]accept F_{[1,2]}(@IDLE))))$ 生成测试序列.

图 2 中自助咖啡机 RTS 转换成 EFSM 后,结果如图 3 所示,修剪后的 EFSM 如图 5 所示.

待测性质中, $@NOTEMPTY(m=1)$ 是“场景”, $coffee$ 和 $[3,5]accept$ 是“外部激励”, $F_{[1,2]}(@IDLE)$ 是“观察”.

满足场景“ $@NOTEMPTY(m=1)$ ”的 EFSM 稳态是 $(\{IDLE, NOTEMPTY\}, \emptyset)$.因此,该场景所对应的路径就是从 EFSM 初态到上述稳态的路径,并且要求路径中所出现的 m 的影响迁移的影响值之和为 1.为此稳态构造路径表达式之前,我们采用 4.1 节的“状态隐藏”技术,得到的精简后 EFSM 如图 8 所示.

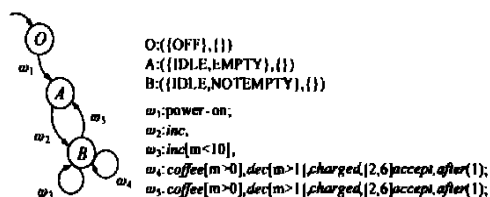


图 8 CVM 例子精简后的 EFSM

根据 4.1 节方法,图 8 中状态 B (即稳态 $(\{IDLE, NOTEMPTY\}, \emptyset)$) 的路径表达式为:

$$1(2(3|4)^*5)^*2(3|4|52)^*$$

该路径表达式中变量 m 的基本影响回路是 $c_1 = 3 = \{inc[m < 10]\}$ (m 增 1), $c_2 = 4 = \{coffee[m > 0]\}, \{dec[m > 1]\}, \{charged\}, \{[2,6]accept\}, \{after(1)\}$ (m 减 1).因此,构造线性方程 $1 * n_1 + (-1) * n_2 = 1$,其中 n_1, n_2 是 c_1, c_2 的出现次数.

下一步,假定选取“2-度影响回路覆盖”,则满足场景 $@NOTEMPTY(m=1)$ 的路径共有 9 条,例如

- ⑧ 1 2;
- ⑧ 1 2 3 4;
- ⑧ 1 2 4 3, 等等.

测试序列可行性分析有助于剔除一些不可行路径,例如 1 2 4 3. 剔除这些不可行路径,最终得到的抽象测试集包含以下 4 条测试序列:

- ⑧ 1 2;
- ⑧ 1 2 3 4;
- ⑧ 1 2 3 3 4 4;
- ⑧ 1 2 3 4 3 4.

在测试选择的第二阶段,假定选取粒度为 1 个时间单位的网格覆盖,则抽象测试集里各抽象测试序列所对应的实时测试序列个数为 $3 + 5 \times 3 + 5 \times 5 \times 3 + 5 \times 5 \times 3 = 168$. 例如,第一个抽象测试序列所对应的 3 个实时测试序列为:

- ⑧ { power-on }, { inc }, { coffee }, { after(3) accept };
- ⑧ { power-on }, { inc }, { coffee }, { after(4) accept };
- ⑧ { power-on }, { inc }, { coffee }, { after(5) accept }.

在同样覆盖准则下,针对其它若干性质得到的测试结果如表 1 所示. 可以看出,待测性质越强(越具体),得到的测试集越小. 从表中还可以看出,在相同测试深度下,面向性质测试比非面向性质测试(即性质为“None”)需要少得多的开销.

表 1 实时系统面向性质测试所需的测试集大小

| 待测性质 | 抽象测试集 | 实时测试集 |
|---|-------|-------|
| $F(\text{@NOTEMPTY } (m=1) (coffee [3,5] \text{accept} F_{[1,2]}(\text{@IDLE})))$ | 1 | 3 |
| $G(\text{@NOTEMPTY } (m=1) (coffee [3,5] \text{accept} F_{[1,2]}(\text{@IDLE})))$ | 4 | 168 |
| $G(\text{@NOTEMPTY } (m=2) (coffee [3,5] \text{accept} F_{[1,2]}(\text{@IDLE})))$ | 7 | 201 |
| $G(\text{@NOTEMPTY} (coffee [3,5] \text{accept} F_{[1,2]}(\text{@IDLE})))$ | 8 | 204 |
| (None) | 40 | 935 |

6 相关工作

为了描述 non-trivial 时间约束, Kesten 等^[8]提出了 Timed Statecharts 概念. 在他们的模型中,迁移分为两类:立即迁移和时间迁移. 前者形如 $e[g]/a$, 需要有激发事件 e , 迁移瞬间发生; 后者形如 $([g] \text{ for } [l, u])/a$, 不需要激发事件, 该迁移与一个最小等待时间 l 和一个最大等待时间 u 关联. 文献^[9]用未作实时扩展的 UML Statecharts 建模, 它采用额外状态、额外迁移、额外判断来辅助描述时间区间上限. 该方法在建模自然性和模型复杂性方面需要改进. 文献^[10]对 UML 作了实时扩展, 它允许单个迁移由多个并发外部事件共同激发(形如 $e_1 e_2 \dots e_n$), 允许外部事件和时间区间共同构成带时间激励. 该方法的后一种扩展与本文类似, 但前一种扩展(即多个并发外部事件共同激发迁移)与 UML Statecharts 单事件处理假设不一致, 导致了语义冲突. 本文模型将迁移标记统一为 $[l, u]e_1 e_2 \dots e_n[g]/a$ 形式, 在模型描述能力足够的情况下使得对问题建模更加自然.

已有的面向性质测试方法大多是基于程序测试, 例如^[11]. 这些方法难以用于基于规约的测试, 并且待测性质的描述受到诸多限制. 虽然^[12]的方法可以对系统规约进行测试, 但它所采用的是较低层次系统规约, 不宜描述较大规模的、有并发行为的、带数据变量的反应式系统.^[4]面向高层规约进行测试, 但它未考虑实时性质. 在面向性质的实时测试方面, Clarke 等^[13]用 ACSF 进程代数描述待测系统, 用输入/输出事件间的最小/最大允许延迟描述待测时间约束, 采用分域测试技术根据给定约束生成测试用例. 此外, Fouchal 等^[14]用 test purpose 描述待测实时性质. 但 test purpose 只是一个无环图, 其描述能力有限, 不能描述含有循环的系统行为.

实时模型检验技术也能用来判断系统模型 M 是否满足指定性质 P , 但它不能判断 SUT 是否满足 P . 将模型检验工具作为引擎的实时测试研究也已展开^[15], 但它们还不是针对性质的测试.

7 结论

本文提出了一种面向性质的实时系统测试方法, 该方法能针对用户给出的实时性质, 从基于 UML Statecharts 实时扩展的模型生成测试序列. 由于明确指定了 RTS 模型语义, 给出了从 RTS 到 EFSM 的转换规则, 因此本文方法可以自动化. 由于进行了 EFSM 测试序列可行性分析, 因此本文方法只生成可执行测试序列.

下一步研究方向包括: (1) 放松 RTS 模型限制; (2) 考虑含有参数化事件的开放系统; (3) 提供性质模式, 辅助非专家用户构造待测实时性质; (4) 混成系统和多对象实时系统面向性质的测试; (5) 进一步的经验研究与方法性能优化.

致谢 论文撰写过程中与文艳军同学进行过深入讨论, 在此表示感谢. 也感谢李仁见同学为工具实现所作的工作.

参考文献:

- [1] OMG. Unified Modeling Language: Superstructure [S]. version 2.0. Object Management Group, 2003.
- [2] H S Hong, Y G Kim, et al. A test sequence selection method for statecharts [J]. Journal of Software Testing, Verification, and Reliability, 2000, 10(4): 203 - 227.
- [3] D Harel, A Naamad. The STATEMATE semantics of statecharts [J]. ACM Transactions on Software Engineering and Methodology, 1996, 5(4): 293 - 333.
- [4] S Li, J Wang, Z C Qi. Property-oriented test generation from UML statecharts [A]. Proc. 19th IEEE Int Conf On Automated Software Engineering [C]. Linz, Austria, 2004, 9: 122 - 131.
- [5] R Alur, T A Henzinger. Logics and models of real time: a survey [A]. In real time: theory in practice (LNCS600) [C]. Springer-Verlag, 1992, 74 - 106.
- [6] K GLarsen, P Pettersson, W Yi. UPPAAL in a nutshell [J]. Int J Software Tools for Technology Transfer, 1997, 1(1/2): 134 - 152.
- [7] H R Lewis, C H Papadimitriou. Elements of the Theory of Computation (2nd ed.) [M]. Prentice Hall, Upper Saddle River, NJ, 1998.

- [8] Y Kesten ,A Pnueli. Timed and hybrid statecharts and their textual representation[A]. J Vytopil, eds. ,Formal Techniques in Real-Time and Fault-Tolerant Systems (LNCS571) [C]. Springer-Verlag ,1992. 591 - 619.
- [9] L Lavazza ,G Quaroni ,M Venturelli. Combining UML and formal notations for modeling real-time systems[A]. Proc 9th ACM SIGSOFT Int Symp on the Foundations of Software Engineering[C]. Vienna ,Austria : September 2001. 9. 196 - 206.
- [10] V D Bianco ,L Lavazza ,M Mauri. A formalization of UML statecharts for real-time software modeling[A]. Proc. 6th Biennial World Conference on Integrated Design Process Technology[C]. Pasadena ,California ,2002.
- [11] G Fink ,M Bishop. Property based testing :A new approach to testing for assurance[J]. ACM SIGSOFT Software Engineering Notes ,1997 ,22 (4) :74 - 80.
- [12] J C Fernandez ,L Mounier ,C Pachon. Property oriented test case generation[A]. Proc. 3rd Int. Workshop on Formal Approaches to Software Testing[C]. LNCS 2931 ,Montreal ,Canada : Springer-Verlag ,2003. 147 - 163.
- [13] D Clarke ,I Lee. Testing real-time constraints in a process algebraic setting[A]. Proc. 17th Int Conf on Software Engineering [C]. Seattle , Washington ,1995. 51 - 60.
- [14] H Fouchal ,E Petitjean ,S Salva. An user-oriented testing of real time systems[A]. Proc. IEEE/ IEE Real-Time Embedded Systems Workshop [C]. London ,UK,December 2001.
- [15] M Mikucionis ,B Nielsen ,K GLarsen. Real-time system testing on the fly[A]. Proc. 15th Nordic Workshop on Programming Theory [C]. Turku ,Finland ,2003. 10. 36 - 38.

作者简介 :



李书浩 男,1976 年出生于湖北汉川,博士生,主要从事软件质量保障与测试、软件开发方法学等方面的研究. E-mail : shuhao . li @ yahoo . com.



王戟 男,1969 年出生于上海,博士,教授,博士生导师,主要从事高可信软件技术、软件工程、语义 Web 等方面的研究. E-mail : ji . wang @ 263 . net.